

The Effect of Space Volume on Heat Transfer by Natural Convection Form an Longitudinal Trihedron Cylinder

Ass. Lecturer.Abbas J. Jubear

Ass.Lecturer. Mohammed Abdulkhabeer Ali

Dr. Abbas S. Shareef

Department of mechanical engineering

University of Wassit

تأثير حجم الحيز على معامل انتقال الحرارة بالحمل الحر من اسطوانة مائلة مزعنفة طوليا

م.م. عباس جاسم جبير

م.م. محمد عبد الخير علي

د. عباس ساهي شريف

جامعة واسط/كلية الهندسة

قسم الهندسة الميكانيكية

space and the maximum heat transfer at a slope angle (60°) and the minimum at a slope angle (0°)in small space and the heat transfer in large space is grater than small space with the range from [$Ra = (4.96 \times 10^7 - 1.3 \times 10^8)$].

الخلاصة

تناول البحث دراسة عملية لانتقال الحرارة بالحمل الحر من اسطوانة ذات زعافن طولية مثلثة المقطع يحيطها الهواء كوسط ناقل للحرارة موضوعة داخل حيزين مختلفين بالحجم أحدهما صغير أبعاده (100cm*120cm*90cm) والآخر كبير الحجم أبعاده (3m*3.6m*2.7m) على التوالي، تم اختبار نماذج ذات زعافن طولية مختلفة العدد (12,8) ووضعت بزوايا ميل مختلفة ($90^\circ, 60^\circ, 30^\circ, 0^\circ$) عن الأفق ولذلك يضطر حاراري مختلف (340,228,147,72,20.5) واط في حيز مفتوح للهواء الخارجي حيث تنتقل الحرارة بالحمل

Abstract

In present work , heat transfer by natural convection from an longitudinal trihedron cylinder in a two different space, small with cross-section (120cm*100cm) and long(90cm) and large with cross-section (3.6m*3m)and long(2.7m)have been studied experimentally ,using air as a heat transport medium.

The cylinder was fixed at different slope angle ($0^\circ, 30^\circ, 60^\circ, 90^\circ$) from horizontal ,and for heat flux (20.5,72,147,228,340)watt, in an open medium to the atmospheric air where heat transferred by convection and radiation.

Heat Transfer from the (8) longitudinal trihedron fins cylinder great than (12) longitudinal trihedron fins cylinder and the maximum heat transfer at a vertical position and minimum at a horizontal in large

ونظرية لانتقال الحرارة بالحمل الحر من سطح أنبوب أفقى بيضوى المقطع التجارب العملية تمت لنسبة باعية (major/minor) تترواح بين $\leq b/c \leq 1$ (3) ونصف قطر الهيدروليكي (6.4) ولقيم عدد رايلي بين $4.92*10^7 - 1.12*10^7$ (1.12*10⁷) وزاوية توجيه الجريان ($90^\circ - 0^\circ$) أما الجزء النظري فقد تم باستخدام طريقة الفروق المحددة (Finite Difference) ولتأثير النسبة الباعية $\leq b/c \leq 0.1$ (0.98) ونصف قطر هيدروليكي يتراوح بين (1.5 - 6.4). توصل الباحثون إلى أن رقم نسلت ورايلي يزدادا بزيادة زاوية التوجيه وتكون الزاوية (90°) هي أفضل زاوية توجيه للجريان وكذلك يزداد عدد نسلت بزيادة نسبة نصف القطر الهيدروليكي وعدم وجود تأثير لنسبة الباعية على عدد نسلت.

كما أجرى الباحثون [Atipoang, Sanparwat, Tanongkiat and Chi (2008)]

دراسة عملية حول تأثير زاوية الميل على أداء المبادل الحراري ذو الأنابيب المزعنفة بالحمل الحر، وزوايا ميل بين ($0^\circ - 90^\circ$) وبعد صفوف بين 1 (4) - ولمدى متغير من درجات حرارة الماء الداخل للمبادل الحراري (${}^{\circ}\text{C}$) (40, 60, 80) وبمعدل تدفق ثابت (L/min) (1.5) وعند درجة حرارة الهواء الجوي (${}^{\circ}\text{C}$) (27). وقد توصل الباحثون إلى أن أفضل أداء للمبادل الحراري عندما تكون زاوية الميل بين ($45^\circ - 45^\circ$) وكذلك تقل كفاءة المبادل الحراري بزيادة عدد صفوف الأنابيب.

أجرى الباحثان [Farouk & Gucer (1981)] دراسة تحليلية لانتقال الحرارة من سطح اسطوانة أفقية باستخدام الفرق المحدد (Finite Difference) وتوصلوا إلى أن قيمة الثابت (C) والذي يمثل ($\text{Nu}/\text{Ra}^{0.25}$) يتراوح من (0.54) عند زاوية مقدارها (0°) إلى (0.18) عند زاوية مقدارها (180°) ولقيم عدد رايلي (Ra) تترواح بين ($7.2*10^6 - 10^6$).

كما درس الباحثان [Moawed (2007) & Ibrahim] دراسة عملية لانتقال الحرارة بالحمل الحر من سطح أنبوب بيضوى المقطع لتأثير النسبة الباعية (major/minor) ($-1.046 \leq S/c \leq 1.046$) وزاوية توجيه الجريان ($0^\circ - 90^\circ$) ولحدود قيم رايلي ($1.13*10^8 - 1.13*10^5$)، وجد أن رقم رايلي يزداد بزيادة النسبة الباعية ($0 \leq S/c \leq 1.046$) ويكون أقصى ما يمكن عند النسبة الباعية تساوي صفر ثم يبدأ بالتناقص لحدود النسبة الباعية (90°) وتكون الزاوية (0°) هي أفضل زاوية توجيه للجريان.

والإشعاع. وقد وجد أن عند وضع النماذج في الحيز الكبير فإن انتقال الحرارة من أسطوانة ذات (8) زعنفة طولية أعلى من الأسطوانة ذات (12) زعنفة طولية في الوضع العمودي (90°) وأقل ما يمكن في الوضع الأفقي (0°) ولكن النموذجين أما عند وضعه في الحيز الصغير فإن انتقال الحرارة من الأسطوانة ذات (8) زعنفة طولية أعلى من الأسطوانة ذات (12) زعنفة طولية عند زاوية ميل (60°) وأقل ما يمكن في الوضع الأفقي أي عند زاوية ميل (0°) ولكن النموذجين أيضا كذلك وجد أن كمية الحرارة المنتقلة من النماذج في الحيز الكبير تكون أكبر بكثير مقارنة بالحيز الصغير ولمدى عدد رايلي ($4.96*10^7$) (Ra) (- $1.3*10^8$).

المقدمة

بالنظر للاستخدام الواسع للأنابيب المزعنفة ذات المقاطع المختلفة في بعض الأجزاء المركبة للأجهزة الإلكترونية والكهربائية وكذلك المبادلات الحرارية بجميع أشكالها وتطبيقاتها مثل أجهزة التكيف المركزي بما تحتويه من مكثفات ومبخرات ومسخنات هواء، والأنابيب المزعنفة تكون ذات مقطع دائري أو مثلث أو مقاطع مختلفة، لذا عند تطبيق مبادئ انتقال الحرارة بالحمل الحر لا بد من مراعاة عامل الكلفة عندما يكون المنتج المراد تصنيعه على مستوى تجاري ، ويتم ذلك عن طريق تقليل حجم المبادل الحراري وزنه وزيادة كفاءته عن طريق زيادة الفقد الحراري ، إذ توجد عدة طرق لزيادة كفاءة المبادل الحراري منها :-

- زيادة المساحة السطحية بتقليل الحجم (باستخدام الزعانف).
 - استخدام معدن ذي موصلية حرارية عالية (النحاس والألمونيوم).
 - استخدام أسلوب مناسب لانتقال الحرارة كالحمل القسري أو الجريان المتعاكش الذي يؤدي إلى زيادة الفقد الحراري.
 - استخدام وسط ناقل مناسب يكون ذو سعة حرارية عالية.
 - تغيير الشكل الهندسي للمبادل الحراري .
- درس عدد من الباحثين عملية انتقال الحرارة من اسطوانة بالحمل الحر ، وأوجدوا علاقات تجريبية وعددية تحدد العلاقة ما بين عدد رايلي (Ra) وعدد نسلت (Nu).

أجرى الباحثون [Ramadan , Nabil , Ali and Abdalla (2008)] دراسة عملية

الحر الطباقي والحمل الاضطرابي وقد توصل الباحث إلى بناء علاقة تتضمن إضافة عدد برانتل إلى عدد $[Nu, Ra]$:

$$Nu = 0.36 + 0.518 [Ra / (1 + (0.599(Pr)^{0.5625} (16/n)))] \quad (1)$$

عمودية بثبوت الفيصل الحراري ولقيم عدد رايلي تتراوح بين $(1.4*10^5 - 1.4*10^4)$ وتغير موقع الاسطوانة على مدى ثلاثة ارتفاعات من الصفيحة وتوصلا إلى علاقة تجريبية لجميع الحالات بالصيغة الآتية.

$$Nu = C \cdot Ra^m \quad (2)$$

بطول (955 mm) . التجارب أجريت بثبوت الفيصل الحراري لقيم عدد رايلي تتراوح بين $(0.28*10^6 - 3.441*10^6)$ وتوصل إلى العلاقة العامة الآتية :-

$$Nu = [0.665 - 0.4885(\sin\theta)] Ra^{1/4 + (1/(12\sin\theta))^{174}} \quad (3)$$

زعانف مربعة الشكل ، مثبتة أفقيا في مجرب عمودي بين جدارين مفتوح من الأعلى والأسفل إلى الهواء الخارجي ودرس تأثير المسافة العمودية لموقع الأنابيب داخل المجرب والمسافة بين حافة الزعانف وجدران المجرب وتوصلا إلى العلاقة الآتية:-

$$Nu/Nu_f = a + b \cdot Ra + c \cdot Ra^2 + d \cdot Ra^3 \quad (4)$$

إذ أن (a, b, c, d) ثوابت متغيرة تعتمد على قيمة المسافة الفاصلة بين حافة الزعانف والجدار وتوصلي إلى إن المجرب يحسن من انتقال الحرارة عندما تكون النسبة الباعية صغيرة ويكون الأنابيب في قاعدة المجرب .

وأجرى الباحث [علي شعلان (1997)] دراسة عملية على صفات من الاسطوانات المزعنفة حلقياً تفصل بينها مسافة متغيرة المقدار (X) والتي تتغير بأضعاف قيمة قطر الزعنة الخارجية حيث تتراوح بين (D = 2-8) = (X) ولمدى عدد رايلي يتراوح بين $(6*10^6 - 1.5*10^6)$ وقد توصل الباحث إلى أن إضافة الزعانف إلى الاسطوانات تؤدي إلى تحسين فقد الحراري من سطحها إذ أن وجود الزعانف يظهر تأثيراً تبريدياً عند نسبة مسافة فاصلة (X = 4d) ، يماثل نفس التأثير لو كانت الاسطوانات بدون زعانف عند (X=7d) وبهذا قلل من حجم المبادل الحراري بالاسطوانات المزعنفة إلى نصف حجم المبادل الحراري بالسطح الأملس.

كما أجرى الباحثون [Young , Joo and Hyung (2005)] دراسة نظرية لانتقال

$$Nu = C \cdot (\theta)^n \cdot (Ra)^m \quad (5)$$

$$C = 0.054$$

$$n = -0.097$$

$$m = 0.592$$

كما أجرى الباحثون [خالد عبد الحميد ، زينة خليفة (2002)] [10] دراسة عملية لمعرفة تأثير زاوية ميل اسطوانة مزعنفة مثلثة المقطع طولياً على انتقال الحرارة بالحمل الحر في حيز مفتوح ،مستويات فرق جهد تتراوح بين (134° - 6°) واط وزوايا ميل تتراوح بين (90° - 0°) وقد وجد أن انتقال الحرارة من الاسطوانة ذات (8) زعنفة طولية تعطي أعلى من الاسطوانة ذات (12) زعنفة طولية كمية حرارة منتقلة عند الزاوية (90°) أي في الوضع العمودي وقد استنتجوا المعادلة التجريبية التالية:-

1 - نموذج الاختبار(8) زعنفة:-

$$Y = 25.6968 \cdot (0)^{-0.03} + 6.1779X - 0.3783X^2$$

$$Y = 24.4028 \cdot (0)^{-0.015} + 6.0675X - 0.3642X^2$$

(mm) وبعد (8) زعنفة للنموذج الأول موزعة على زاوية (45°) وبعد (12) زعنفة للنموذج الثاني موزعة على زاوية (30°) على المحيط . تم استخدام مسخن كهربائي قدره (1) كيلو واط وتم الاختبار بتثبيت النماذج على مسند حديدي تم تصنيعه بشكل يمكننا من الحصول على زوايا الميل المحددة في البحث والتي تتراوح بين (90° - 0°) عن الأفق، تم وضع النماذج مع المسند في داخل حيزين أحدهما صغير الحجم تم تصنيعه من الخشب المضغوط أبعاده (100 cm * 120 cm * 90 cm) شكل (2)، والأخر كبير الحجم عبارة عن غرفة أبعادها (3m * 3.6m * 2.7m).

الحسابات:

لحساب خواص انتقال الحرارة بالحمل الحر من الأنابيب المزعنفة وهي الحالة العملية والتطبيقية تم استخدام المعادلات المدرجة أدناه من (8) إلى (14) حيث تم حساب الحرارة المتولدة والحرارة المنتقلة بالإشعاع والحرارة المنتقلة بالحمل الحر وعددي نسلت ورالي ودرجة الحرارة المجملة ومعامل التمدد الحجمي.

$$Q_q = I * V$$

$$Q_q = Q_{conv.} + Q_{rad.}$$

$$Q_{conv.} = hA_t (T_s - T_a)$$

$$Q_{rad} = \sigma A_t \cdot \epsilon (T_s^4 - T_a^4)$$

المتغيرات الابعدية التي تمثل من عدد نسلت (Nu) وعدد رالي (Ra) معرفة كما يلى

$$Nu = h D_0 / k$$

$$Ra = (\beta * g * D_0^3 * (T_s - T_a) / v^2) * P_r \quad (12)$$

أما خواص الهواء فقد تم حسابها عند معدل درجة حرارة سطح الأنابيب والهواء المحيط

$$T_b = (T_a + T_s) / 2$$

(وللشروط الحرارية $89^\circ \leq \theta \leq 1^\circ$ حيث أن الزاوية بالدرجات).

أجرت الباحثة [زينة خليفة (2000)] [12] دراسة عملية لانتقال الحرارة بالحمل الحر من اسطوانة ذات زعنفة حلقيّة مستطيلة ومثلثة المقطع ومقارنتها مع اسطوانة غير مزعنفة وزوايا الميل المستخدمة في المصدر [8] ولمستويات حرارية 2^2 (W/m²) (33820, 21751, 12335, 5570, 1459) وقد توصلت إلى أن أعلى كمية حرارة منتقلة بالحمل من الاسطوانة ذات الزعنفة الحلقيّة المثلثة المقطع وبزاوية ميل مقدارها (0°) ولمدى عدد رالى يتراوح بين (4.9×10^3 - 10.4×10^6).

2 - نموذج الاختبار(12) زعنفة:-

(وللشروط الحرارية $89^\circ \leq \theta \leq 1^\circ$ حيث أن الزاوية بالدرجات).

بعد الإطلاع على نتائج البحوث السابقة ، تبين أن أي منها لم يتطرق إلى دراسة تأثير حجم الحيز على معامل انتقال الحرارة بالحمل الحر ولغرض إيجاد الوضع والحجم الأفضل بزيادة كمية الحرارة المنتقلة لكثرة استخدام محطات الكهرباء الفرعية المدمجة وبعض الأجهزة الإلكترونية الدقيقة المصنعة لهذا الشكل وتصميم المبادرات الحرارية .

نماذج الاختبار:

يوضح الشكل (1) نموذجي الاختبار المستخدمين في التجارب العملية بشكل مجسم صمم بقياسات مطابقة للمقياسات المستعملة عملياً في المسخنات وقد تم تصنيعها من الألمنيوم الصالحة بقطر خارجي ($D_0 = 48 mm$) وتم عمل ثقب على طول النموذج بقطر ($D_i = 16 mm$) لوضع المسخن الكهربائي داخله. تم عمل الزعنفة الطولية ذات المقطع المثلث بواسطة ماكنة التفريز لهذا الغرض المقاومة الحرارية بينها وبين الأنابيب حيث أن ارتفاع الزعنفة ($t = 13 mm$) وبطول ($L = 300$ mm) (8)

..... (9)

..... (10)

..... (11)

المتغيرات الابعدية التي تمثل من عدد نسلت (Nu) وعدد رالي (Ra) معرفة كما يلى

..... (13)
ومقدار معامل التمدد الحجمي

$\beta=1/T_b$
أنموذج اختبار كما في الشكل (6,4,5) على التوالي حيث أظهرت النتائج ما يلي :-

١- أن علاقة عدد (Nu) مع عدد (Ra) لا يمكن تمثيلها بخط مستقيم لذا تم استخدام معادلات لوغارتمية وأعطت نتائج مقبولة جداً وكانت المعادلات الخاصة لكل منحني وكل نموذج حسب الشروط الحدية كما يلي :-

أنموذج الاختبار (8) زعنفة مثلثة المقطع في حيز كبير :

$$\theta = 0^\circ \quad Y = 0.34927 X - 0.754849$$

$$\theta = 30^\circ \quad Y = 0.28338X - 0.20772$$

$$\theta = 60^\circ \quad Y = 0.215524X + 0.355232$$

$$\theta = 90^\circ \quad Y = 0.150451X + 0.895872$$

أنموذج الاختبار (8) زعنفة مثلثة المقطع في حيز صغير :

$$\theta = 0^\circ \quad Y = 0.315614 X - 0.729071$$

$$\theta = 30^\circ \quad Y = 0.279787X - 0.421313$$

$$\theta = 60^\circ \quad Y = 0.262011X - 0.273899$$

$$\theta = 90^\circ \quad Y = 0.281462X - 0.4471$$

أنموذج الاختبار (12) زعنفة مثلثة المقطع في حيز كبير :

$$\theta = 0^\circ \quad Y = 0.117814 X + 0.865919$$

$$\theta = 30^\circ \quad Y = 0.0341517X + 1.55382$$

$$\theta = 60^\circ \quad Y = 0.0408427 X + 1.51346$$

$$\theta = 90^\circ \quad Y = 0.0346173 X + 1.57412$$

أنموذج الاختبار (12) زعنفة مثلثة المقطع في حيز صغير :

$$\theta = 0^\circ \quad Y = 0.275498 X - 0.493231$$

$$\theta = 30^\circ \quad Y = 0.230897 X - 0.110665$$

$$\theta = 60^\circ \quad Y = 0.208863 X + 0.0797815$$

$$\theta = 90^\circ \quad Y = 0.201353 X + 0.133284$$

حيث ان:

$$Y = \log Nu, X = \log Ra$$

الزاوية الخاصة به كما في الشكل (9,10) حيث أن العلاقة التي تربط هذا الثابت مع الزاوية بشكل عام هي .

كما تم معالجة الحيدود في هذه المنحنيات وذلك برسم قيمة الثابت الموجود في كل من المعادلات أعلاه مع

(15)
وبالتعمييض عن قيمة الثابت أصبحت المعادلة العامة

لنمذاج الاختبار للشروط الحدية $1^\circ \leq \theta \leq 89^\circ$. كما يلي:-

..... (16)

بـ. أنموذج الاختبار 8 زعنفة مثلثة المقطع في حيز صغير:

$$Nu = 1.94(Ra)^{0.25} * 6.464 \theta^{-0.19739}$$

..... (17)

$$Nu = 0.34(Ra)^{0.28472} * 5.210^{-0.191}$$

إذ تم إجراء مقارنة للنتائج بين قيم عدد رايلي (Ra) وعدد نسلت (Nu) لكل نموذج اختبار ولكل زاوية محددة في البحث.

النتائج والمناقشة:

بعد إجراء التجارب العملية لقيم عدد رايلي تتراوح بين $1.3 * 10^7$ - $4.96 * 10^7$ ولفيض حراري مختلف يتراوح بين (340, 20.5) واط وزوايا ميل عن المحور العمودي تتراوح بين 0° - 90° . تم حساب قيم عدد نسلت (Nu) وعدد رايلي (Ra) لكل حالة من الحالات أعلاه ورسمها لكل

جـ- أنموذج الاختبار 12 زعنفة مثلثة المقطع في حيز كبير:

$$Nu=2.38(Ra)^{0.056856} * 4.3730^{0.20265} \quad (18)$$

دـ- أنموذج الاختبار 12 زعنفة مثلثة المقطع في حيز صغير:

$$Nu=0.4066(Ra)^{0.23} * 30^{-0.2095} \quad (19)$$

منتهماً وتكون أقصى قوة رافعة للهواء في هذه الحالة ونتيجة لوضعه في داخل حيز صغير فإن المسافة بين الزعنفة والسطح العلوي للحيز الصغير تكون أقل ما يمكن عند $\theta = 90^\circ$ حيث تصبح المسافة (25 cm) وبالتالي سوف تزداد درجة حرارة الهواء المحيط نتيجة الاحتباس الحراري داخل الحيز الصغير وبالتالي يقل فرق درجات الحرارة ومن ثم كمية الحرارة المنتقلة، وفي حالة وضع النموذج بزاوية $\theta = 0^\circ$ فإن تصرفه يكون مشابه للحيز الكبير.

- ٤- توضيح الأشكال (8) - (7) مقارنة بين كمية الحرارة المنتقلة بالحمل الحر بين الحيز الكبير والحيز الصغير ولكافة زوايا الميل ($90^\circ, 60^\circ, 30^\circ, 0^\circ$) وكل النموذجين - (8) (12) حيث وجد أن كمية الحرارة المنتقلة بالحمل الحر من الحيز الكبير تكون أكبر مقارنة بالحيز الصغير ولكافة زوايا الميل وكل النموذجين وذلك لزيادة درجة حرارة الهواء المحيط بالزعنفة نتيجة الاحتباس الحراري في حالة استخدام الحيز الصغير وبالتالي يقل فرق درجات الحرارة ومن ثم كمية الحرارة المنتقلة ونلاحظ عكس ذلك عند استخدام حيز أكبر حيث أن تيارات الهواء تكون أكبر وبالتالي تزداد كفاءة انتقال الحرارة وكمية الحرارة المنتقلة في الحيز الكبير.

٥- الاستنتاجات:

أظهرت النتائج التي تم الحصول عليها من خلال التجارب العملية لدراسة الخواص الحرارية لاسطوانة مزعنفة طولياً ذات مقطع مثلث تم وضعهما في حيزين أحدهما كبير والأخر صغير وبعد معالجة هذه النتائج يمكن بناء الاستنتاجات التالية :-

- ١- ان المعادلة التي تحكم العلاقة بين عدد (Nu) وعدد (Ra) لزوايا ميل مختلفة يمكن تمثيلها بالشكل الآتي :-

$$Nu=12.54(Ra)^{0.25} * \theta^{-0.19739}$$

بـ- أنموذج الاختبار 8 زعنفة مثلثة المقطع في حيز صغير:

$$Nu=1.7714(Ra)^{0.28472} * \theta^{-0.191}$$

$$Nu=10.4(Ra)^{0.056856} * \theta^{0.202652}$$

$$Nu=1.22(Ra)^{0.23} * \theta^{-0.2095}$$

جـ- أنموذج الاختبار 12 زعنفة مثلثة المقطع في حيز كبير:

دـ- أنموذج الاختبار 12 زعنفة مثلثة المقطع في حيز صغير:

٢- تأثير عدد رايلي (Ra) يكون أكبر من تأثير زاوية الميل لنموذجي الاختبار المستخدمة في البحث ولكل الحيزين.

حيث تتضمن تأثير الزاوية دالة لعدد نسلت وعدد رايلي وبالتعويض عن مقدار الزاوية (θ) بما يساويها أعطت تطابق في القيم بنسبة خطأ لا تتجاوز (12 %).

٢- توضيح الأشكال (3,4) أن كمية الحرارة المنتقلة بالحمل الحرفي الحيز الكبير تزداد بزيادة عدد رايلي (Ra) كما أنها تزداد بزيادة زاوية الميل حيث تصبح أعلى ما يمكن عند زاوية ميل ($\theta = 90^\circ$) وأقل ما يمكن عند زاوية ($\theta = 0^\circ$) ويعزى ذلك إلى أن الحزوز الطولية المثلثة المقطع لنموذج الاختبار عندما يكون في وضع عمودي تعمل على سريان الهواء الساخن بشكل يكاد يكون منظم وتكون أقصى قوة رافعة للهواء في هذه الحالة أما في حالة ميل النموذج بزاوية ($60^\circ, 30^\circ$, $\theta = 0^\circ$) فان القوة الرافعة للهواء تناسب مع ($\sin\theta$) أي تكون المركبة العمودية لقوة الفعلية هي المؤثرة وفي حالة وضع النموذج بزاوية ($\theta = 0^\circ$) تعمل الزعاف عمل مصدات تعرقل سريان الهواء مما يؤدي إلى اضطراب الجريان وبالتالي انخفاض معدل فقد الحراري من الأنابيب وتسخن الزعاف نفسها .

٣- توضيح الأشكال (5,6) أن كمية الحرارة المنتقلة بالحمل الحرفي الحيز الصغير تزداد بزيادة عدد رايلي (Ra) كما أنها تزداد بزيادة زاوية الميل حيث تصبح أعلى ما يمكن عند زاوية ميل ($\theta = 60^\circ$) وأقل ما يمكن عند زاوية ($\theta = 0^\circ$) حيث وجد في حالة ميل النموذج بزاوية ($30^\circ, 60^\circ$) فان القوة الرافعة للهواء تناسب مع ($\sin\theta$) وبالتالي تصبح أعلى ما يمكن عند زاوية ($\theta = 60^\circ$), أما في حالة وضع النموذج بزاوية ميل (90°) فان الحزوز الطولية المثلثة المقطع لنموذج الاختبار عندما يكون في وضع عمودي تعمل على سريان الهواء الساخن بشكل يكاد يكون أـ- أنموذج الاختبار 8 زعنفة مثلثة المقطع في حيز كبير:

٥ - كمية الحرارة المنتقلة من الحيز الكبير تكون اكبر مقارنة بالحيز الصغير ولكل التموجين ولنفس قيم عدد رايلي.

٣- معامل انتقال الحرارة بالحمل الحر يكون أعلى في حالة $\theta = 90^\circ$ واقل ما يمكن عند $\theta = 0^\circ$ عند وضع الحيز في حيز كبير .

٤- معامل انتقال الحرارة بالحمل الحر يكون أعلى في حالة $\theta = 60^\circ$ واقل ما يمكن عند $\theta = 0^\circ$ عند وضع الحيز في حيز صغير.

الرموز والمصطلحات

الوحدة	المعنى	رمز
m^2	المساحة الاجمالية	<i>At</i>
mm	القطر الداخلي لأنبوب المزعنف	<i>Di</i>
mm	القطر الخارجي لأنبوب المزعنف	<i>Do</i>
mm	قطر الأنابيب الخارجي من دون زعانف	<i>Dp</i>
m/s^2	التعجيل الأرضي	<i>g</i>
W/m^2K	معامل انتقال الحرارة بالحمل الحر	<i>h</i>
W/mK	معامل التوصيل الحراري	<i>K</i>
mm	طول الاسطوانة المزعنف	<i>L</i>
	اس عدد رايلي	<i>m</i>
	اس زاوية الميل للاسطوانة	<i>n</i>
	عدد نسلت	<i>Nu</i>
	عدد برانتل	<i>Pr</i>
W	معدل الحرارة المنتقلة بالحمل	<i>Q_{conv}</i>
W	معدل الحرارة المفقودة إلى الهواء	<i>Q_q</i>
W	معدل الحرارة المنتقلة بالإشعاع	<i>Q_{rad}</i>
	عدد رايلي	<i>Ra</i>
K	درجة حرارة الهواء	<i>T_a</i>

K	درجة الحرارة المجملة	T_b
K	درجة حرارة السطح	T_s
mm	ارتفاع الزرائف الطولية	t
$1/K$	معامل التمدد الحجمي	β
	الانبعاثية	ϵ
$W/m^2 K^4$	ثابت ستيفن - بولتزمان	σ
m^2/s	اللزوجة الكينماتية	ν

(AEIC), Cairo, Egypt, 2007, APRIL
12-14.

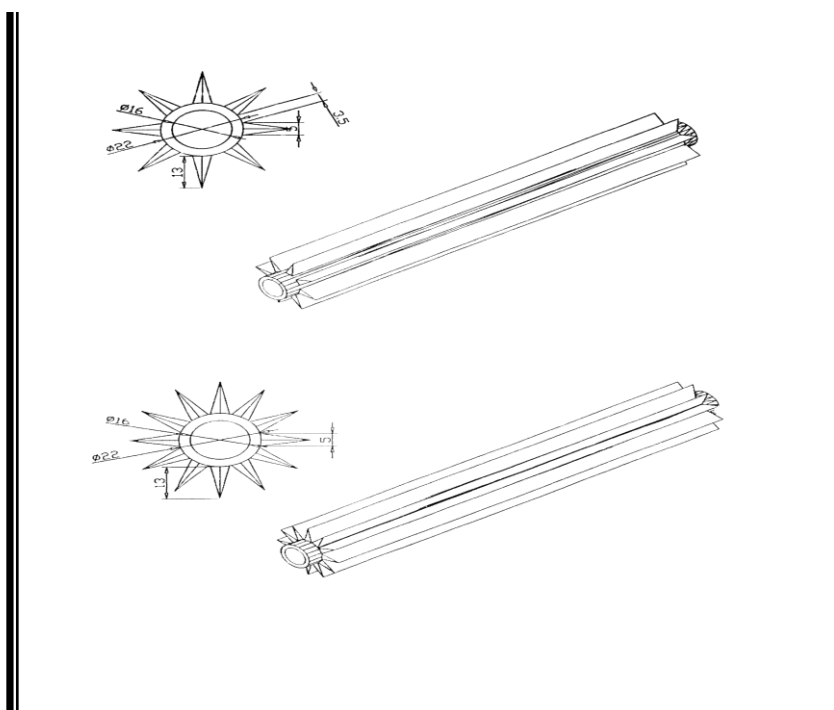
المصادر

- 5- Sturt W. Churchill and Hembel H.s.CHU."Corrlating Equation for Laminar and Turbulent Free Convection from a Horizontal Cylinder "Int.J.Heat&Mass Transfer Vol.103, pp522– 532, 1981.
- 6- Sparrow E.M. and Chrysler "Natural Convection Heat Transfer Coefficient for a Short Horizontal Cylinder Attached to a Vertical Plate", Transaction of ASME Vol. 103, PP 630-637, 1981.
- 7- Yassen K. salman "Laminar Natural Convection Heat Transfer from the out side Surface of an Inclined Cylinder", Thesis MSc, University of Technology, 1978.
- 8- Hassan. K. Abdullah "Improved Heat Transfer from Horizontal Finned Tube Between Two Adiabatic Walls" مجلة أبحاث اليرموك
- 1-Ramadan Y., Nabil S., Ali A. and Abdalla ., "Experimental and Numerical Investigation of Natural Convection Heat Transfer in Horizontal Elliptic", International Journal of Chemical Reactor Engineering Vol.6,2008,Article A45.
- 2- Atipoang, Sanparwat, Tanongkiat and Chi – Chuan., "Effect of Inclination Angle on Free Convection Thermal Performance of Louver Finned Heat Exchanger" Int.J.Heat Mass Transfer 40(3) pp533 – 544, 2008.
- 3- Farouk B. and Guceri S.I.(1981) "Natural Convection from Horizontal Cylinder – Laminar Regime" Transaction of ASME vol.103,pp522-527.
- 4- Moawed M. and Ibrahim E., "Heat Transfer by Free Convection Inside Horizontal elliptic tubes with different axis ratio and different orientation angles", Al-Azhar Engineering Ninth International Conference

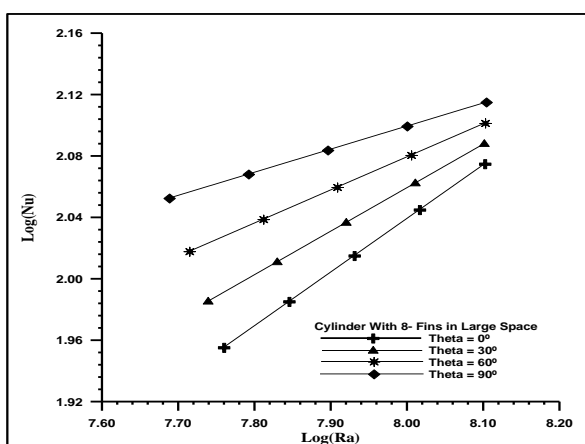
- 13- خالد عبد الحميد إسماعيل، زينة خليفة كاظم
"انتقال الحرارة بالحمل الحر من أسطوانة مائلة
مزعنفة طولياً" مجله العلوم والهندسة ، جامعة
الانبار،المجلد الأول، العدد الأول، 2002 .
- (سلسلة العلوم الأساسية والهندسية) ، جامعة
اليرموك ، الأردن، المجلد السابع، العدد الأول ،
ص ص65-80،1998.
- 9- علي شعلان مohan "تحسين انتقال الحرارة
بالحمل الحر من صف عمودي لاسطوانات أفقيه
مزعنفة موضوعة داخل مجاري أدبياتي" . رسالة
مقدمة إلى قسم هندسة المكانن والمعدات في
الجامعة التكنولوجية، 1997 .
- 10- Young Min, Joo Suk and Hyung Suk., "Analysis Of A One – Dimensional Method And The Finite Difference Method", J. KSIAM, Vol.9,No.1,91 –89,2005.**
- 11- حسن كريم ، زينة خليفة ، أركان فوزي
"دراسة تأثير زاوية ميل اسطوانة مزعنفة حلقياً
على انتقال الحرارة بالحمل الحر في حيز مفتوح"
مجلة التقني – هيئة المعاهد الفنية، 2000.
- 12- زينة خليفة كاظم "دراسة تأثير زاوية ميل
اسطوانة ذات زعانف مختلفة المقطع على انتقال
الحرارة بالحمل الحر في حيز مفتوح" المؤتمر
القطري الأول للهندسة الميكانيكية والمعادن
و الهندسة المواد / كلية الهندسة/جامعة الكوفة،
.2000



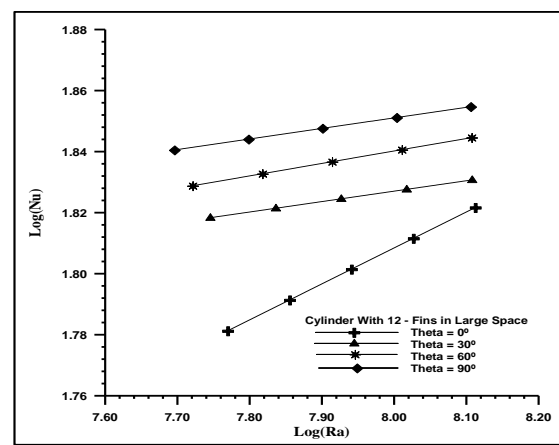
شكل(1) يبين صوره للحيز الصغير والحامل الحديد



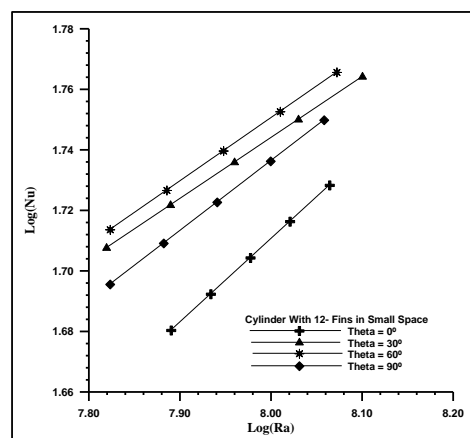
شكل(2) يبين الأشكال المجسمة لقطع الاختبار



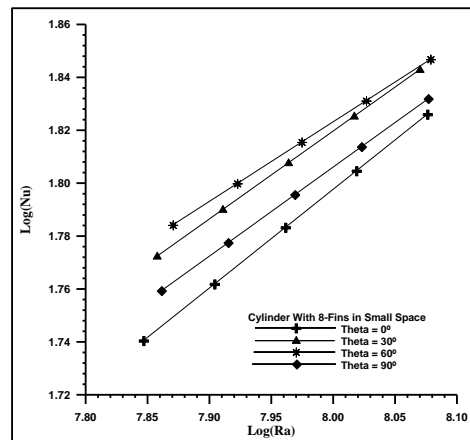
شكل(4) تأثير زاوية الميل على كمية الحرارة المنتقلة من اسطوانة ذات (8) زعنفة في حيز كبير



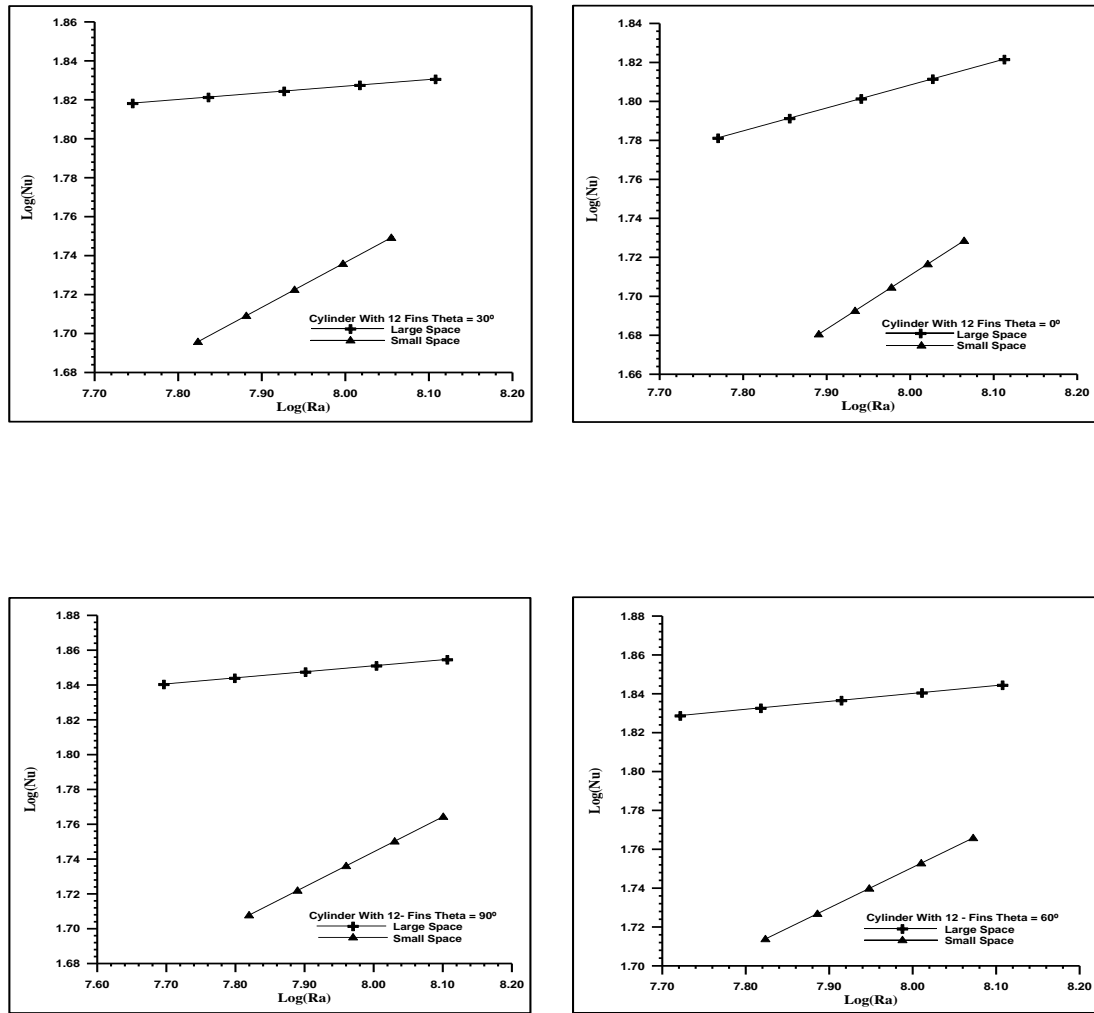
شكل(3) تأثير زاوية الميل على كمية الحرارة المنتقلة من اسطوانة ذات (12) زعنفة



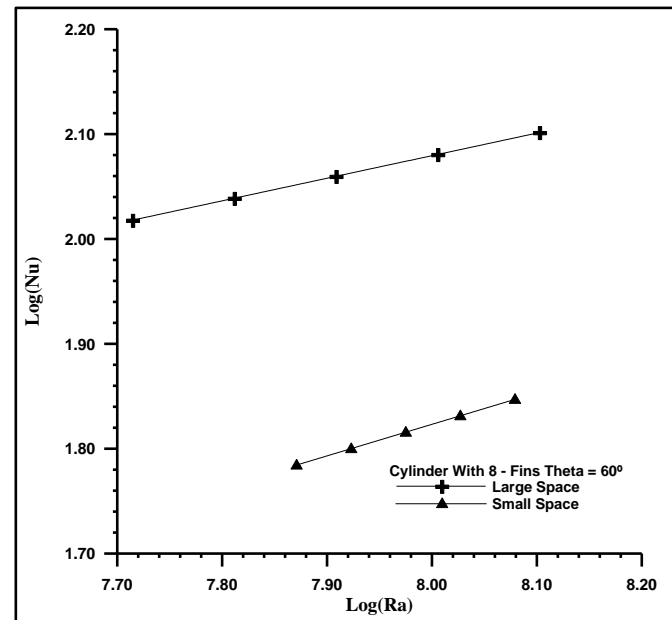
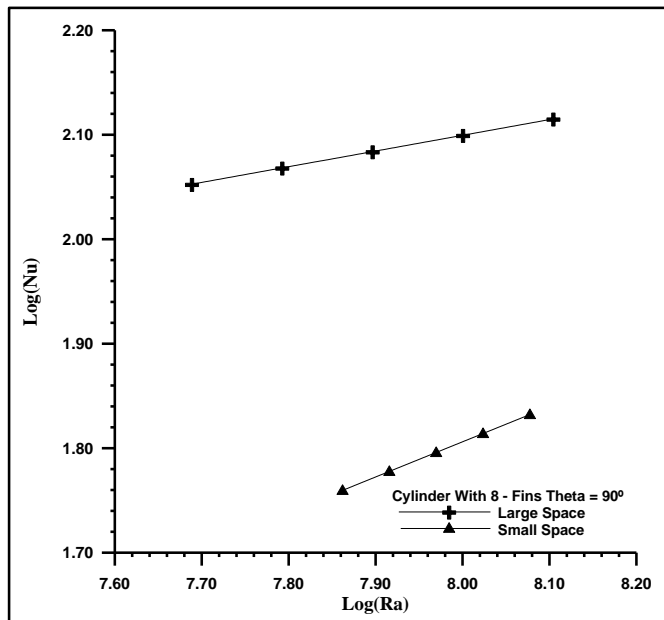
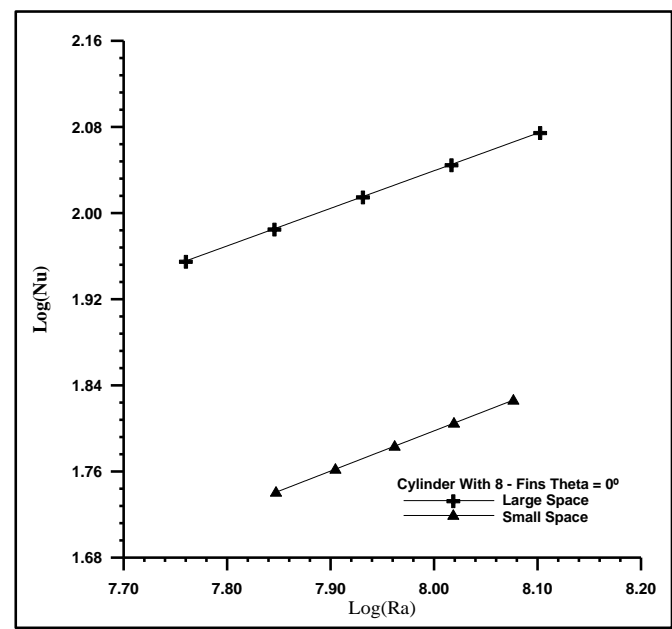
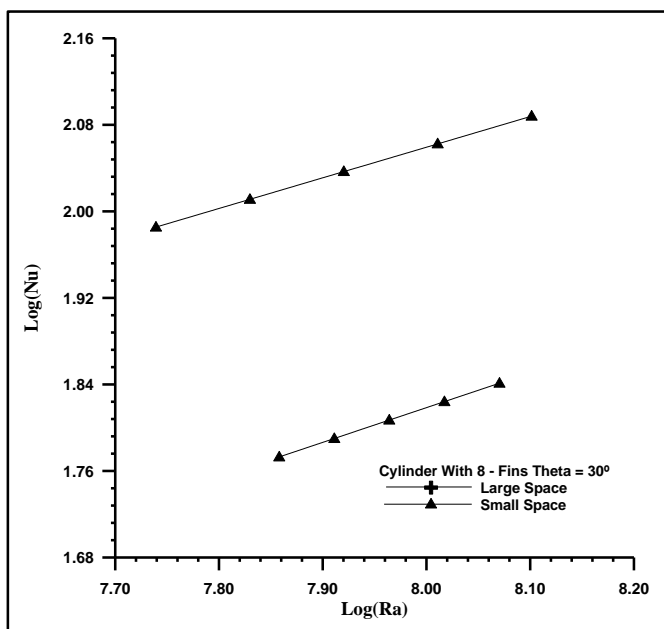
شكل(5) تأثير زاوية الميل على كمية الحرارة المنتقلة من اسطوانة ذات (12) زعنفة



شكل(6) تأثير زاوية الميل على كمية الحرارة المنتقلة من اسطوانة ذات (8) زعنفة



شكل(7) مقارنة بين كمية الحرارة المنتقلة من اسطوانة ذات (12) زعنفة طولية مثمنة المقطع لمختلف زوايا الميل في حيز كبير وآخر صغير



شكل(8) مقارنة بين كمية الحرارة المنتقلة من اسطوانة ذات (8) زعنفة طولية مثلاة المقطع لمختلف زوايا الميل في حيز كبير و آخر صغير